

Nulové body převodzkového zítelě převodu
 $G(p)$

Abý sme našli nulové body funkce $G(p)$, musíme určit nulové body funkce $G(p)G(-p)$, definovanéj pre tento případ rovnícou (12-80). Řešení (12-80) musíme rozložit na dva případy, ato pre n -párno a n -nepárno. Pre n -párno dostáváme:

$$\begin{aligned} 1 + \varepsilon^2 p^{2n} &= 0 \\ p^{2n} &= -\frac{1}{\varepsilon^2} \\ p^{2k} &= \frac{1}{\varepsilon^2} e^{j(2k+1)\pi} \quad k=0, 1, 2, 3, \dots \quad (12-86) \end{aligned}$$

Mo řešení (12-86) potom dostaneme třeto výrazy:

$$p_k = \frac{1}{\varepsilon^{2k}} e^{j \frac{2k+1}{2n} \pi} \quad k=0, 1, 2, \dots, 2n-1 \quad (12-87)$$

resp.

$$p_k = \frac{1}{\varepsilon^{2k}} \left[\cos \frac{2k+1}{2n} \pi + j \sin \frac{2k+1}{2n} \pi \right] \quad (12-88)$$

re n -nepárno platí:

$$\begin{aligned} 1 - \varepsilon^2 p^{2m} &= 0 \\ p^{2m} &= \frac{1}{\varepsilon^2} \\ p^{2k} &= \frac{1}{\varepsilon^2} e^{j2k\pi} \quad k=0, 1, 2, 3, \dots \quad (12-89) \end{aligned}$$

řešení rovnice (12-89) potom dostáváme:

$$p_k = \varepsilon^{-\frac{1}{m}} e^{j \frac{k\pi}{n}} \quad (12-90)$$

resp.

$$p_k = \varepsilon^{-\frac{1}{m}} \left[\cos \left(\frac{k\pi}{n} \right) + j \sin \left(\frac{k\pi}{n} \right) \right] \quad k=0, 1, 2, \dots, 2n-1$$

Ujssie uvedene vzťahy aplikujeme na nasledujúci príklad. Predpokladajme že $\epsilon = 1$. Potom pre b_{max} platí:

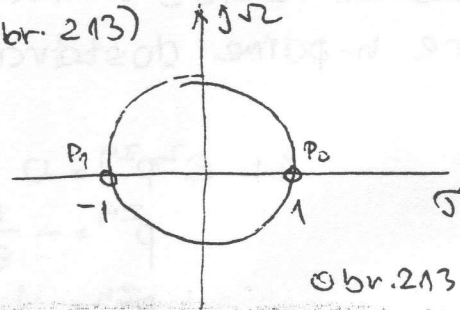
$$b_{max} = \frac{1}{2} \ln(1+1) = \frac{1}{2} \ln 2 = 0.35 N_p = 3 \text{ dB}$$

Z rovníc: (18-87) a (18-89) potom dostávame:

a) $n=1$; $2n=2$ $k=0, 1$ (Obr. 213)

$$p_0 = \cos 0 + j \sin 0 = 1$$

$$p_1 = \cos \pi + j \sin \pi = -1$$



Obr. 213

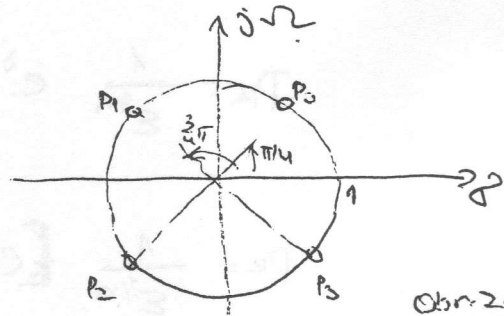
b) $n=2$ $2n=4$ $k=0, 1, 2, 3$ obr. (214)

$$p_0 = \cos \frac{\pi}{2} + j \sin \frac{\pi}{2} = 0,407 + j 0,707$$

$$p_1 = \cos \frac{3\pi}{4} + j \sin \frac{3\pi}{4} = 0,707 + j 0,707$$

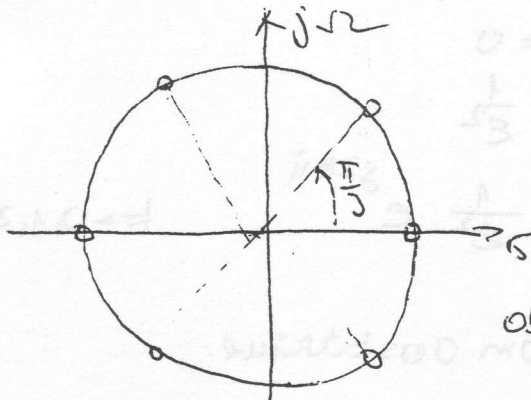
$$p_2 = \cos \frac{5\pi}{4} + j \sin \frac{5\pi}{4} = -0,707 + j 0,707$$

$$p_3 = \cos \frac{7\pi}{4} + j \sin \frac{7\pi}{4} = 0,407 - j 0,707$$



Obr. 214

c) $n=3$ $2n=6$ $k=0, 1, 2, 3, 4, 5$ (Obr. 215)



Obr. 216

Z uvedených obr. ako aj z predchádzajúcich rovníc možno formulovať tieto závery:

- funkcia $G(p)G(-p)$ môže mať korene reálne alebo komplexné, avšak nemôže mať rydozimaginárne korene.
- korene sú rozložené na kružnici, s polomerom $\varepsilon^{1/m}$, so stredom v bode $p=0$.
- korene sú rozložené súmerne k obidvom osám, pričom zvierajú uhle π/m .

Ďalšie odvodenie v predchádzajúcom príklade, možno zhrnúť a písať rovnice, napísanými v tvare súčinu koreňových zosmieťov. zda:

$$1 \quad G(p)G(-p) = (p-p_0)(p-p_1) \quad (12-91)$$

$$2 \quad G(p)G(-p) = (p-p_0)(p-p_1)(p-p_2)(p-p_3) \quad (12-92)$$

$$3 \quad G(p)G(-p) = (p-p_0)(p-p_1)(p-p_2)(p-p_3)(p-p_4)(p-p_5) \quad (12-93)$$

atď.

Časti 12.4.3. sme uviedli, že $G(p)$ má korene - nulové body len ľavej polroviny. Potom vzhľadom na symetriu koreňov $G(p)G(-p)$, ožmo funkciu $G(p)$ odvážať tak, že uvažujeme len tie korene $(p)G(-p)$, ktoré ležia v ľavej polrovine. Potom z rovníc (12-91)-(12-93) dostaneme:

$$G(p) = (p-p_1) = p+1 \quad n=1$$

$$G(p) = (p-p_1)(p-p_2) = p^2 + 1,41422p + 1 \quad n=2$$

$$G(p) = (p-p_2)(p-p_3)(p-p_4) = p^3 + 2p^2 + 2p + 1 \quad n=3$$

atď.

všeobecnosti dospejeme k mnohočlenu

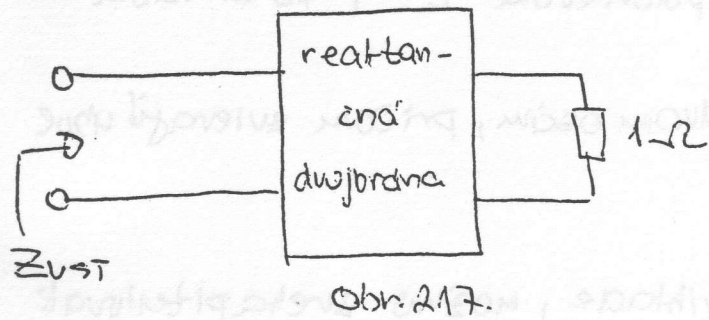
$$G(p) = B_n(p) = b_n p^n + b_{n-1} p^{n-1} + \dots + b_2 p^2 + b_1 p + b_0 \quad (12-94)$$

$b_n = 1, b_0 = 1$

ony sa nazývajú Butterworthovým mnohočlenom n -tého stupňa.

Butterworthove mnohočleny sú obyčajne tabuľované pre $\alpha = 3 \text{ dB } (\varepsilon = 1)$, a to vo forme polynómov, alebo vo forme reťov týchto polynómov.

Realizácia filtra s max. plochou čln. charakteristikou



Obr. 217.

Úloha realizácie reaktancnej dvojbrány podľa obr. 217, ktorá je zakončená rezistorom $R=1\Omega$, spočívajú v nájdení štruktúry pktorá má prevádzkové minimum prenosu $G(p)$ a charakteristickú funkciu $\varphi(p)$. Syntéza takej dvojbrány môže byť založená na

vzhlade vstupnej impedancie

$$Z_{vst} = \frac{Z_{vst}}{R_n} = \frac{G(p) + \varphi(p)}{G(p) - \varphi(p)} \quad (12-95)$$

alebo jej zodpovedajúcej admitancii, do reťazového zloženka, s následnou realizáciou v 1. Cauerovom kanonickom tvare. Tento postup si teraz naznačíme na niekoľkých príkladoch, pre rôzne n ,

$n=0$

$$\varphi(p) = \pm p^m \quad (12-96)$$

$$G_n(p) = G(p) \quad (12-97)$$

$\epsilon = 1$

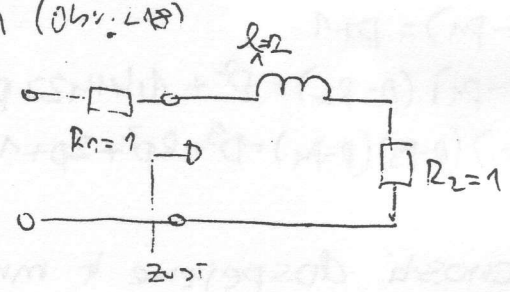
1) $n=1$; $G(p) = p+1$ $\varphi(p) = \pm p$ (12-98)

a)

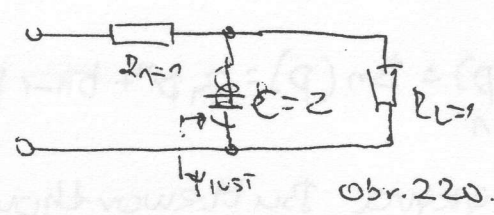
$$Z_{vst} = \frac{G(p) + \varphi(p)}{G(p) - \varphi(p)} = \frac{p+1+p}{p+1-p} = Z_{p+1} \quad (\text{obr. 218})$$

b)

$$Z_{vst} = \frac{p+1-p}{p+1+p} = \frac{1}{2p+1}$$



$Y_{vst} = 2p+1$ (obr. 219)



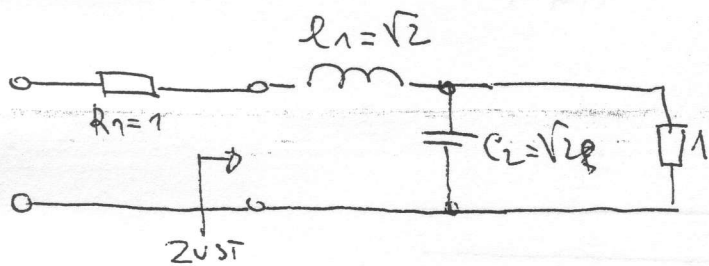
Obr. 220.

2) $n=2$ $G(p) = 1 + \sqrt{2}p + p^2$ $\varphi(p) = \pm p^2$

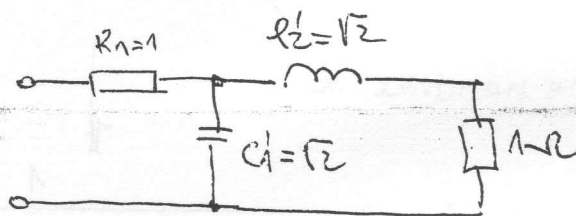
a) $\varphi(p) = p^2$

$$Z_{\text{vst}} = \frac{1 + \sqrt{2}p + p^2 + p^2}{1 + \sqrt{2}p} = \frac{2p^2 + \sqrt{2}p + 1}{\sqrt{2}p + 1} = p\sqrt{2} + \frac{1}{\sqrt{2}p + 1} \quad (\text{Obr. 221})$$

$$Y_{\text{vst}} = \frac{\sqrt{2}p + 1}{p^2 + \sqrt{2}p + 1} = \sqrt{2}p + \frac{1}{\sqrt{2}p + 1} \quad (\text{Obr. 222})$$



Obr. 221



Obr. 222

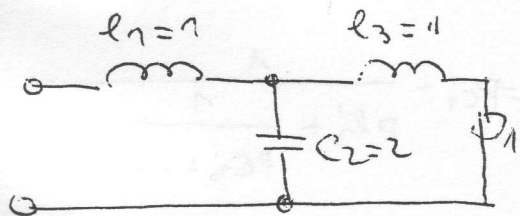
3) $n=3$ $G(p) = 1 + 2p + 2p^2 + p^3$ $\varphi(p) = \pm p^3$

a) $\varphi(p) = p^3$

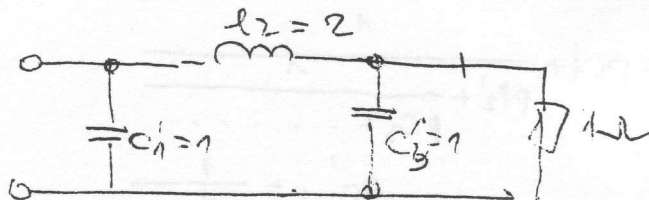
$$Z_{\text{vst}}(p) = p + \frac{1}{2p + \frac{1}{p+1}} \quad (\text{Obr. 223})$$

b) $\varphi(p) = -p^3$

$$Y_{\text{vst}}(p) = p + \frac{1}{2p + \frac{1}{p+1}} \quad (\text{Obr. 224})$$



Obr. 223



Obr. 224

• dostatek uvedených příkladů si už zřejmě všeobecně zakomponují
 v realizaci bezstratových filtrů.

(205)

ak použijeme $\varphi(p) = +p^m$, tak zvrst(p) možno vyjadriť v tomto tvare:
~~(12-99)~~ a) pre párne n:

$$Z_{vrst}(p) = p l_1 + \frac{1}{p c_2 + \frac{1}{p l_3 + \frac{1}{p c_4 + \dots + \frac{1}{p c_{n-1} + \frac{1}{p l_{n+1}}}}}}$$

(12-99)

b) pre nepárne m:

$$Z_{vrst}(p) = p l_1 + \frac{1}{p c_2 + \frac{1}{p l_3 + \frac{1}{p c_4 + \dots + \frac{1}{p l_{n-1} + \frac{1}{p c_{n+1}}}}}}$$

(12-100)

ak použijeme charakteristickú fciu $\varphi(p) = -p^m$, tak má admítančná fciu rozvinutá do reťazového zámku tento tvar:

a) n - párne:

$$Y_{vrst}(p) = p c_1' + \frac{1}{p l_2' + \frac{1}{p c_3' + \dots + \frac{1}{p c_{n-1}' + \frac{1}{p l_{n+1}'}}}}$$

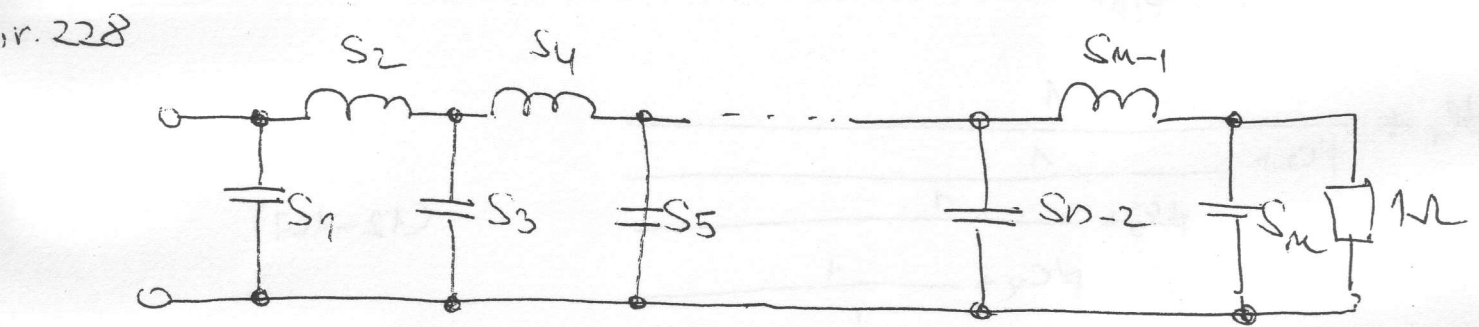
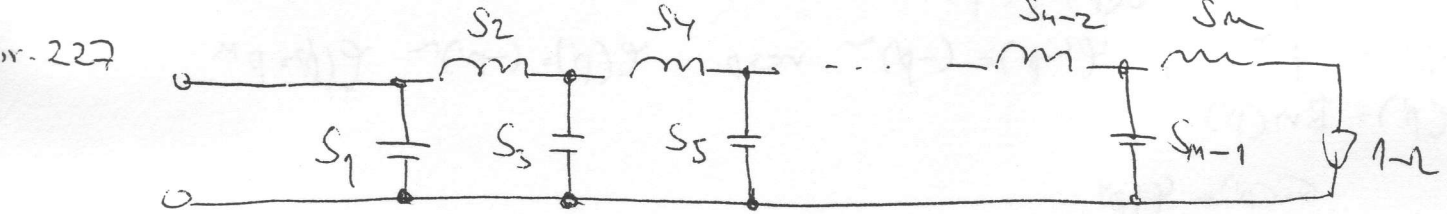
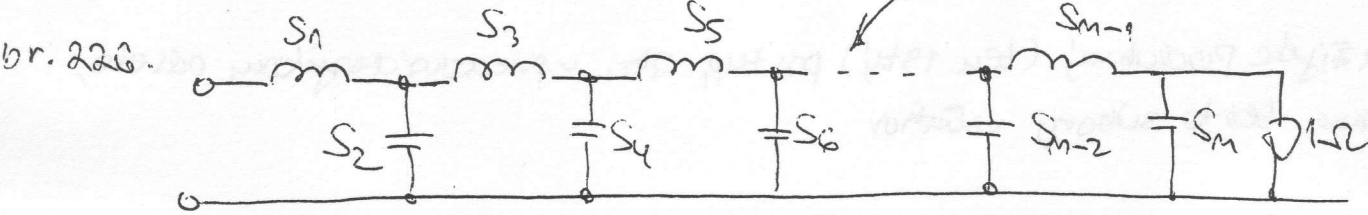
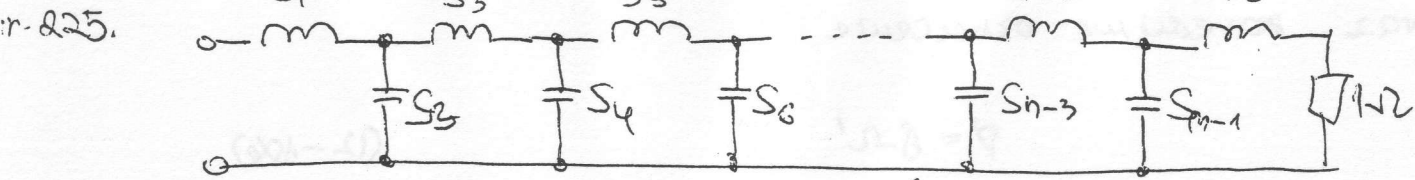
(12-101)

b) n - nepárne

$$Y_{vrst}(p) = p c_1' + \frac{1}{p l_2' + \frac{1}{p c_3' + \dots + \frac{1}{p l_{n-1}' + \frac{1}{p c_{n+1}'}}}}$$

(12-102)

určiacam (12-99) ÷ (12-102) možno privadiť zapojenie prechových nor-
novaných DP podľa obr. 225 - obr. 228. Ak sa pozrieme bližšie na obr., k
vzhľadom, pre realizáciu zvrst pre n=1, 2, 3, ... atď, vidíme, že $R_1 = C$
& $L_2' = C_2$. Preto sú starobné drúh označené symbolom S. Parametre
v reťazovom zámku sú charakteristické hodnotami a tabuľkách.



Niektóre pozostają k wzorku BW filtrów.

Wztek $\epsilon \neq 1$! Zaobserwujmy się przewodzeniowy ułemu bezstratowej dwustronny dla przypadku $\epsilon \neq 1$. Potem możemy zrobić następujące uproszczenie:

$$b(\Omega) = \frac{1}{2} \ln(1 + \epsilon^2 \Omega^{2n})$$

$$b(\Omega) = \frac{1}{2} \ln[1 + (\frac{\epsilon^{1/n}}{\Omega})^{2n}]; \quad (12-103)$$

Zaredukujmy substytucje

$$\Omega' = \epsilon^{1/n} \Omega \quad (12-104)$$

Wtedy dostajemy:

$$b(\Omega') = \frac{1}{2} \ln[1 + \Omega'^{2n}] \quad (12-105)$$

ak teraz zaviedieme označenie

$$p' = j\Omega'$$

(12-106)

tak použijeme podobný (ten istý) postup, ako v predchádzajúcom odseku, dostaneme tieto súborné vzťahy

$$G(p) G(+p') = 1 + \psi(p') \psi(-p')$$

$$\psi(p') = p'^m \quad ; \quad \psi(-p') = (-p')^m \quad \text{resp.} \quad \psi(p) = (-p)^m \quad \psi(p') = p^m$$

$$G(p') = B_n(p')$$

$$z_{\text{ost}} = \frac{G(p') + \psi(p')}{G(p) - \psi(p)}$$

$$= p' l_1 + \frac{1}{p' c_2 + \frac{1}{p' l_3 + \frac{1}{p' c_4 + \frac{1}{\vdots \frac{1}{p' c_{n-1} + \frac{1}{p' l_n + 1}}}}}}$$

(12-107)

(pre n - párne),

ktoré

zťah (12-106) možno ďalej upraviť takto:

$$p' = j\Omega' = j \sum^{1/m} \Omega = \sum^{1/m} (j\Omega) = \sum^{1/m} p$$

(12-108)

vrátením (12-108) do (12-107) dostaneme:

$$z_{\text{ost}} = p \left(\sum^{1/m} l_1 \right) + \frac{1}{p \left(\sum^{1/m} c_2 \right) + \frac{1}{p \left(\sum^{1/m} l_3 \right) + \frac{1}{\vdots \frac{1}{p \left(\sum^{1/m} c_{n-1} \right) + \frac{1}{p \left(\sum^{1/m} l_n \right) + 1}}}}}} = p l_1 + \frac{1}{p c_2 + \frac{1}{p l_3 + \frac{1}{\vdots \frac{1}{p c_{n-1} + \frac{1}{p l_n + 1}}}}}}$$

(12-109)

Do vzťahu (12-103) plynú nasledujúce rovnosti:

$$L_i = \sum^{1/n} l_i \quad (12-110)$$

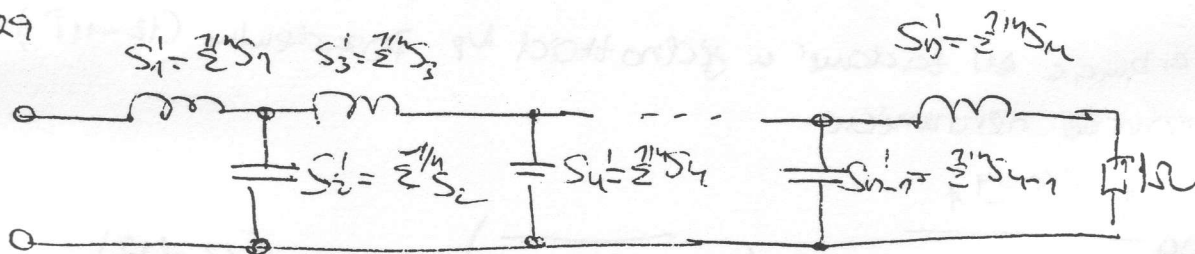
$$C_i = \sum^{1/n} c_i \quad (12-111)$$

Zhľadom na to, že hodnoty parametrov prvkov bezstratovej dvojvlnovej línie označované ako $S_1, S_2, S_3, \dots, S_n$, tak pri zjednej súvislosti medzi L_i, C_i a S_i , možno napísať tieto rovnice:

$$S_i' = \sum^{1/n} S_i \quad (12-112)$$

Uvedeného potom plynú realizácia filtra pre $\sum \neq 1$ na základe parametrov C_i získaných v tabuľke. Na obr. 229 je naznačená realizácia zvisť pre $n=4$ podľa $\sum \neq 1$.

obr. 229



ztráta (dB) - jednotky útlmu sú dB.

Keď definujeme požiadaviek na vlastnosti filtrov sú parametre b_{max} a b_{min} , obvyčajne zadávané v jednotke dB, a nie v jednotke lp, pretože sme až doteraz uvažovali. Preto v ďalšej časti našej prednášky budeme užťeť pre úroveň tzv. rezu, v ktorom sú parametre b_{max} a b_{min} definované v jednotke dB.

Nech b^{dB} vyjadruje ~~ten istý~~ jednotke dB, ako b^{lp} v jednotke lp. Potom platia nasledujúce rovnice:

$$b^{lp} = \frac{1}{2} \ln \frac{P_1}{P_2} \Rightarrow e^{2b^{lp}} = \frac{P_1}{P_2} \quad (113)$$

$$b^{dB} = 10 \log_{10} \frac{P_1}{P_2} \Rightarrow 10^{0,1 b^{dB}} = \frac{P_1}{P_2} \quad (114)$$

Do vzťahov (12-113) a (12-114) plynie tento vzťah

$$e^{2b_{dB}} = 10^{0,1 b_{dB}}$$

(12-115)

zrejme, že (12-115) platí pre všetky hodnoty útlmu, a teda i pre b_{max} a b_{min} . Preto buď platí i tieto vzťahy:

$$e^{2b_{max}} = 10^{0,1 b_{max}}$$

$$e^{2b_{min}} = 10^{0,1 b_{min}}$$

(12-115)

z predchádzajúcich úvah vieme, že pre reči filtra n , musí vyhovovať rovnici

$$n \geq \frac{\log \frac{e^{2b_{min}} - 1}{e^{2b_{max}} - 1}}{2 \log R_2}$$

(12-116)

Keďže b_{min} a b_{max} sú zadane v jednotkách n_p . Posadíme (12-117) do (12-116) dostaneme nerovnicu

$$n \geq \frac{\log \frac{10^{0,1 n_{p_{min}} - 1}}{10^{0,1 n_{p_{max}} - 1}}}{2 \log R_2} \quad \left(z = \sqrt{10^{0,1 n_{p_{max}} - 1}} \right)$$

(12-117)

ktorá musí vyhovovať reči filtra n , kde b_{min} a b_{max} sú zadane v jednotkách dB.

Príklad 3: Príklad návrhu bezstratového filtra.

Návrhuje filter s maximálne plochou útlmovou charakteristikou, s $b_{max} = 1 \text{ dB}$ a $b_{min} = 25 \text{ dB}$. Prijateľné pásmo je do 1 kHz, neprijateľné od 10 kHz. Umiestnený odpor zdroja kapacitného signálu a odpor záťaže sú rovnaké, pričom platí $R_1 = R_2 = 470 \text{ k}\Omega$.

Präsenz:

$$\epsilon = \sqrt{10^{0,1b_{max}-1}} = \sqrt{10^{0,1}-1} = 0,5088$$

$$\Omega_2 = \frac{6}{4} = 1,5 \quad \Omega_1 = 1!$$

$$n \geq \frac{\log \frac{10^{0,1b_{min}-1}}{10^{0,1b_{max}-1}}}{2 \log \Omega_2} = \frac{\log \frac{10^{0,1 \cdot 25}-1}{10^{0,1 \cdot 1}-1}}{2 \log 1,5} = 8,6!$$

uslue: n=9

2 tabulky zisfujeme:

$S_1 = 0,347$	$S_4 = 1,849$	$S_7 = 1,532$
$S_2 = 1$	$S_5 = 2$	$S_8 = 1$
$S_3 = 1,532$	$S_6 = 1,849$	$S_9 = 0,347$

$$S'_k = \sqrt{\epsilon} = \sqrt{0,5088} = 0,9246 \quad ; \quad S'_i = \sum^n S_i$$

$S'_1 = 0,3218$	$S'_4 = 1,7429$	$S'_7 = 1,421$
$S'_2 = 0,4246$	$S'_5 = 1,8552$	$S'_8 = 0,9276$
$S'_3 = 1,421$	$S'_6 = 1,7429$	$S'_9 = 0,3218$

Impektanore' a frekventov' odnormovanie: $\omega_0 = 2\pi \cdot 4 \cdot 10^3 \text{ rad/s}$
 $R_0 = 470$

$$L_k = R_k \frac{R_0}{\omega_0} = R_k \cdot \frac{470}{2\pi \cdot 4 \cdot 10^3} = 1,87 \cdot 10^{-2} R_k$$

$$C_k = \frac{C_k}{\omega_0 R_0} = \frac{C_k}{2\pi \cdot 4 \cdot 10^3 \cdot 470} = 8,465 \cdot 10^{-8} C_k$$

Neca $S'_i = C_k$, pretohu n je nepärne, potomu plati:

4

(211)

$$C_1 = C_3 = 8,465 \cdot 10^8 \cdot 0,3248 = 27,24 \text{ nF}$$

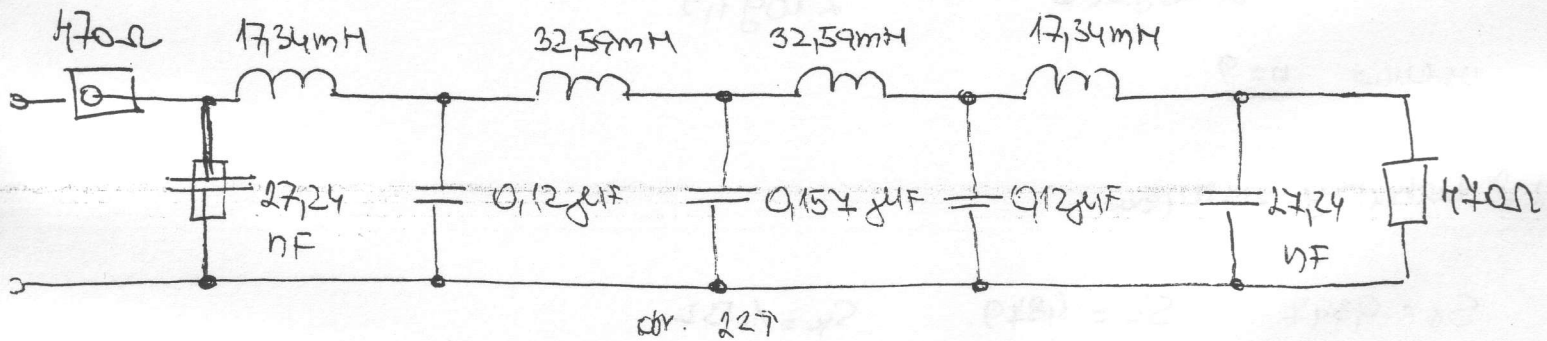
$$C_2 = C_4 = 8,465 \cdot 10^8 \cdot 1,421 = 0,12 \text{ }\mu\text{F}$$

$$C_5 = 8,465 \cdot 10^8 \cdot 1,8552 = 0,154 \text{ }\mu\text{F}$$

$$L_2 = L_8 = 1,84 \cdot 10^2 \cdot 0,9276 = 17,34 \text{ mH}$$

$$L_4 = L_6 = 1,84 \cdot 10^2 \cdot 1,7429 = 32,59 \text{ mH}$$

4. Realizácia:



8. Poznámky:

Pri realizácii si je potrebné uvedomiť 2 skutočnosti.

- I.) a. reálna cievka $\text{---} \text{---} \text{---} = \text{---} \text{---} \text{---} \text{---} \text{---}$
 b. reálny kondenzátor $\text{---} \text{---} \text{---} = \text{---} \text{---} \text{---} \text{---} \text{---}$

II.) Hodnoty indukčnosti možno stanoviť meraním, a vhodným navrhnutím cievky

hodnoty kapacitorov však presne zvolené byť nemôžu, vzhľadom na vady kapacit a tolerancie kapacit.

†

Vzhľadom na I a II, bude vhodné previesť podrobnejšiu analýzu vlastností, výpočet (ručný), alebo metódami (AD) (napr. použitie SPICE).

vztah:

$$G(p) = \frac{1}{2} \sqrt{\frac{R_2}{R_1}} G_u(p)$$

Char. (212)

amplitudový
frekvenc.

(12-118)

kde

$$G_u(p) = \frac{U_1(p)}{U_2(p)}$$

charakteristiky.

(12-119)

Priztom $U_2(p)$ je na zatovacom rezistore a $U_1(p)$ je napätie na zraji signálu. Z rovnice (11-118), možno vyjadriť tiež prenos napätia

$H(p) = U_2(p)/U_1(p)$, v tejto forme:

$$H(p) = \frac{U_2(p)}{U_1(p)} = \frac{1}{G_u(p)} = \frac{1}{2} \sqrt{\frac{R_2}{R_1}} \frac{1}{G(p)}$$

(12-120)

Uvedením značení

$$H_0 = \frac{1}{2} \sqrt{\frac{R_2}{R_1}}$$

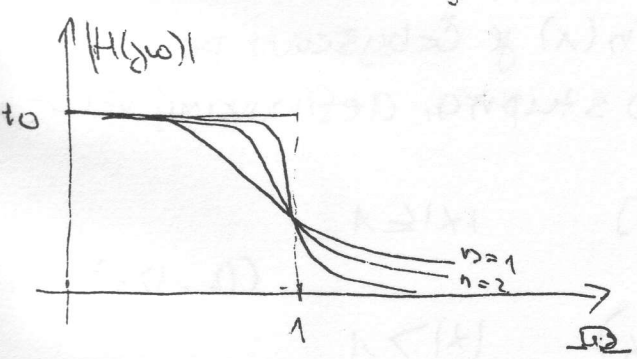
(12-121)

možno (12-120) zapísať takto:

$$H(p) = \frac{H_0}{G(p)}$$

(12-124)

rekonštruujeme (amplitudové) charakteristiky, zodpovedajúce funkcií $|H(j\omega)|$ a značení na nasledujúcom obr. (Obr. 230). O uvedeného je zrejmé, že



Obr. 230.

tieto charakteristiky zodpovedajú amplitudovej frekvencnej charakteristike normovaného dolného prepustku. To je dôležité zvoliť tak, aby platilo

$$|H(j\omega)|_{\omega=0} = 1 \quad (12-122)$$

Ukážeme

$$|B_n(p)|_{\omega=0} = 1 \quad (12-123)$$

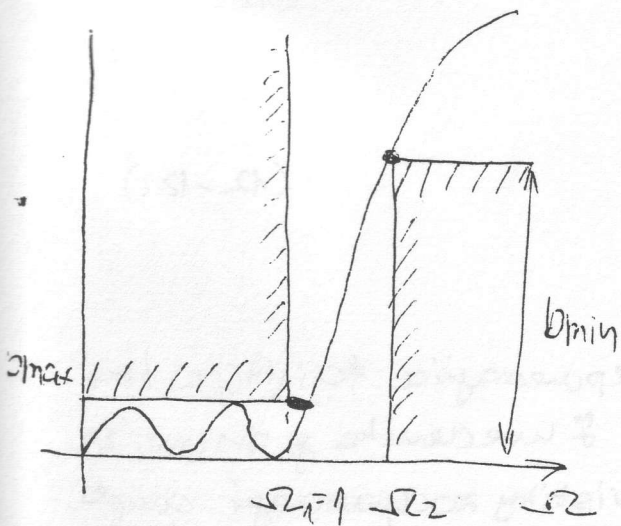
akékoľvek $H_0 = 1$. Potom vzťah (12-124) možno zapísať takto

$$H(p) = \frac{1}{G(p)} = \frac{1}{B_n(p)}$$

(12-125)

Dolejší vzťah nám ukazuje, že prenosová funkcia normovaná DP filtra, možno obdržať tak, že sa rovná prevratnej charakteristike prevádzkového měry proudu $G(p)$. Prenosová funkcia týchto typov filtrov (napr. DP, HP, PP, PZ) možno potom obdržať s $H(p)$ vhodnou frekvencnou transformáciou. Účinom takehoto stanovenia prenosovej funkcie spočíva v tom, že tieto prenosové funkcie je možné realizovať inými, niekedy a to veľmi často efektívnejšími, metódami ako sú postupne bezstratové filtre. Tu ako príklad možno uviesť použitie RC filtrov - realizovaných a pomocou IOZ, filtre na báze spinaných kapacitorov alebo komerčne vyrábané filtre vo forme IO, majiace zrkadlové charakteristiky - (tu máme na mysli charakteristiky aproximácie) ako filtre bezstratové.

2.4.5 Filtre s izoextremálnou charakteristikou v priepustnom pásme (obr. 231)



obr. 231.

V prípade aproximácie utlmenej charakteristiky s izoextremálnou aproximáciou v priepustnom pásme pre jednotku normovaného DP platí (obr. 231.):

$$D = \frac{1}{2} \ln \left(1 + \varepsilon^2 T_n^2(\Omega) \right) \quad (12-125)$$

kde $T_n(x)$ je Čebyševov polynóm n -tého stupňa, definovaný vzťahom:

$$T_n(x) = \begin{cases} \cos [n(\cos^{-1} x)] & |x| \leq 1 \\ \cosh (n \cosh^{-1} x) & |x| > 1 \end{cases} \quad (12-126)$$

z predostlého vzťaku plynie, že:

$$\begin{aligned}
 T_0(x) &= 1 & T_3(x) &= 4x^3 - 3x \dots \\
 T_1(x) &= x \\
 T_2(x) &= 2x^2 - 1
 \end{aligned}$$

Da sa ukazuje, že $T_n(x)$ možno generovať použitím týchto rekurenčných vzťahov:

$$T_{n+1}(x) = 2xT_n(x) - T_{n-1}(x) \quad \text{pre } n=1, 2, 3, \dots \quad (12-127)$$

zo vzťahu (12-125) vidíme, že pre charakteristickú funkciu platí:

$$\varphi(0) = \varepsilon T_n(0) \quad (12-128)$$

$$\varphi(j\Omega) = \varepsilon T_n(j\Omega) \quad (12-129)$$

itom pre predávkovú mieru prenosu platí:

$$G(p)G(-p) = 1 + \varepsilon^2 T_n(p)T_n(-p) \quad (12-130)$$

akto platí: $T_n(1) = 1$ (12-131)

ak pre $\Omega = 1$, možno (12-125), zapísať v tejto forme:

$$G_{\max} = \frac{1}{\varepsilon} \ln(1 + \varepsilon^2) \quad (12-132)$$

čoho pre ε platí:

$$\varepsilon = \sqrt{\frac{e^{2G_{\max}} - 1}{e^{2G_{\max}} + 1}} \quad (12-133)$$

z základných vzťahov (12-125), pri využití maticových vlastností chebyshevových polynómov, možno ukázať, že pre požadovaný voľce filtra sú platíť nerovnosť:

$$n \geq \frac{\log \sqrt{\frac{e^{2G_{\min}} - 1}{e^{2G_{\max}} - 1}} + 0,3}{\log \Omega_2 + 0,3} \quad (12-144)$$

aké body funkcie $G(p)$ sú rozložené na ellipse, ktorá je daná rovnicou:

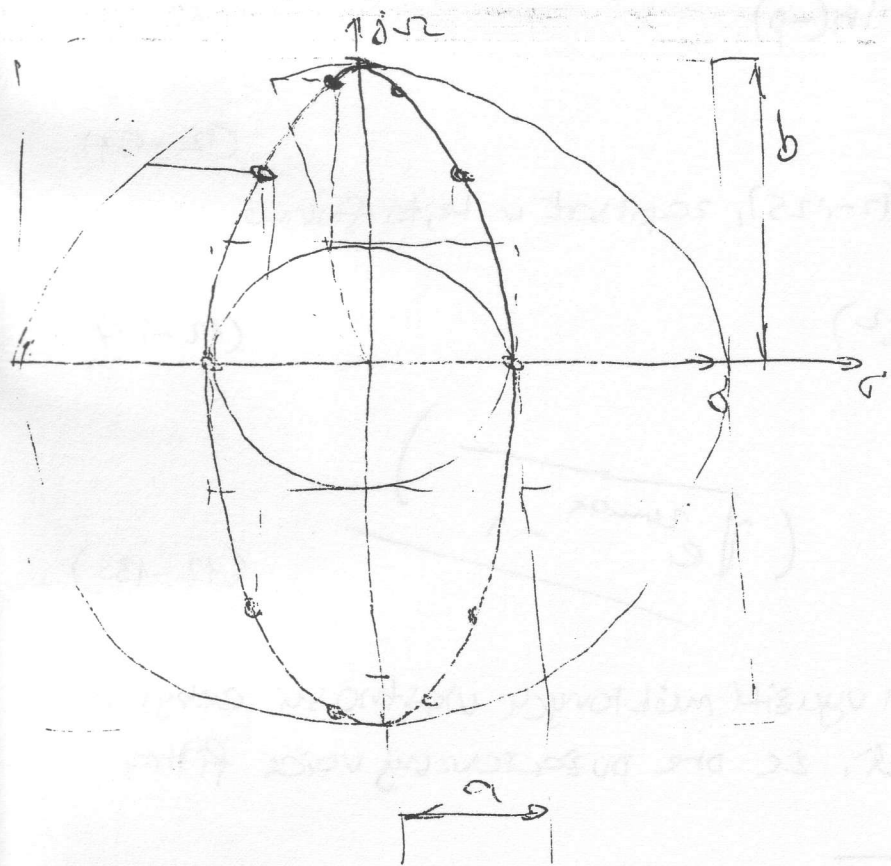
$$\frac{\sigma_k^2}{\sinh^2\left(\frac{1}{n} \operatorname{arcsinh} \frac{1}{\varepsilon}\right)} + \frac{\omega_k^2}{\cosh^2\left(\frac{1}{n} \operatorname{arcsinh} \frac{1}{\varepsilon}\right)} = 1 \quad (12-145)$$

213

Nulové body funkce $G(p)$, se tu body $p_k = \sigma_k + j\omega_k$ $k=0, 1, 2, \dots, m$
 ať z těchto bodů uvažujeme lince, které leží v ľavé poloúrovni,
~~...~~, tak možno najst mnoho člen

$$G(p) = C_n(p) = C_0 + C_1 p + C_2 p^2 + \dots + C_n p^n \quad (12-146)$$

Ľeto mnoho členy se uvažované v tabulka, pre rôzne hodnoty
 ϵ a b a rôzne n . Uchádza sa z $C_n(p)$ a $\psi(p)$, možno
 použiť podobného postupu ako v prípade Butterworthových filtrov,
 odvodiť i realizácie filtrov Ľebysevových. Bezstratové pasívne
 realizácie ĽF se opäť tabelované, pre prípade normovaného DB, a
 rôzne ϵ a n . Pri ich hodnotu podstupujeme podobne, ako v prípade
 Butterworthových filtrov.



Obr. 232.

Solving 6.70.

(2/6)

$$b = \frac{1}{2} \ln [1 + \varepsilon^2 T_n^2(\Omega)]$$

$$b_{\max} = \frac{1}{2} \ln [1 + \varepsilon^2]; \quad e^{2b_{\max} - 1} = \varepsilon^2; \quad \varepsilon = \sqrt{\frac{e^{2b_{\max}} - 1}{1}}$$

$$b_{\min} \leq \frac{1}{2} \ln [1 + \varepsilon^2 T_n^2(\Omega)]$$

$$e^{2b_{\min} - 1} \leq \varepsilon^2 T_n^2(\Omega)$$

$$T_n^2(\Omega) \geq \frac{e^{2b_{\min} - 1}}{e^{2b_{\max} - 1}}$$

$$T_n(\Omega) \geq \sqrt{\frac{e^{2b_{\min} - 1}}{e^{2b_{\max} - 1}}}; \quad \frac{1}{2} (2\Omega)^m \geq \sqrt{\frac{e^{2b_{\min} - 1}}{e^{2b_{\max} - 1}}}$$

$$\cos[\text{arccos}(\frac{\Omega_2}{2})] \geq \sqrt{\frac{e^{2b_{\min} - 1}}{e^{2b_{\max} - 1}}}$$

$$n \geq \frac{\text{arccos} \left[\sqrt{\frac{e^{2b_{\min} - 1}}{e^{2b_{\max} - 1}}} \right]}{\text{arccos}(\frac{\Omega_2}{2})}$$

$$\ln(2\Omega)^m \geq \log \sqrt{\frac{e^{2b_{\min} - 1}}{e^{2b_{\max} - 1}}} + \log 2$$

$$m \geq \frac{\log \sqrt{\frac{e^{2b_{\min} - 1}}{e^{2b_{\max} - 1}}} + \log 2}{\log \Omega_2 + \log 2}$$

$$= \frac{\log \sqrt{\frac{e^{2b_{\min} - 1}}{e^{2b_{\max} - 1}}} + 0.3}{\log \Omega_2 + 0.3}$$

$$T_n(\Omega) = 2T_{n-1}(x) - T_{n-2}(x)$$

$$T_0(x) = 1$$

$$T_1(x) = x$$

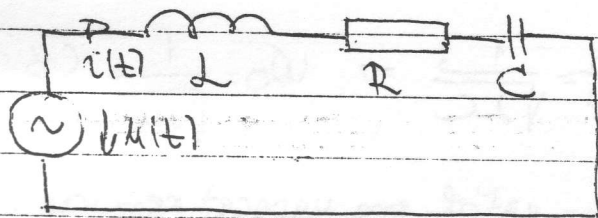
$$T_2(x) = 2xT_1(x) - T_0(x) = 2x \cdot x - 1 \approx 2x^2$$

$$T_3(x) = 2xT_2(x) - T_1(x) \approx 2x \cdot 2x^2 - x \approx 4x^3$$

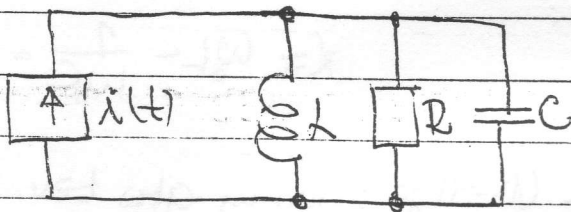
$$T_n(x) = 2^{n-1} x^n; \quad T_n(\Omega) = 2^{n-1} \Omega^n = \frac{1}{2} (2\Omega)^n$$

13. Rezonančné obvody

Rezonančný obvod tvorí určité zapojenie cievky a kondenzátora. Pretože reálna cievka má vždy stratorný odpor, resp. reálny kondenzátor môže mať určitý vodivý odpor, modelujeme reálny rezonančný obvod pomocou ideálneho rezistora, kapacítora a induktora. Ak sú tieto prvky zapojené do série, hovoríme o sériovom rezonančnom obvode, ak sú zapojené paralelne, hovoríme o paralelnom rezonančnom obvode (obr. 234.).



obr. 233



obr. 234.

13.1. Sériový rezonančný obvod

Uvažujme SRV podľa obr. 233. Potom pre impedanciu obvodu platí:

$$Z(p) = R + pL + \frac{1}{pC}, \quad (13-1)$$

Pre $p = j\omega$ dostaneme:

$$Z(j\omega) = R + j\omega L + \frac{1}{j\omega C} = R + j\omega L \left(\omega L - \frac{1}{\omega C} \right) = |Z| e^{j\varphi} \quad (13-2)$$

$$|Z(j\omega)| = \sqrt{R^2 + \left(\omega L - \frac{1}{\omega C} \right)^2} \quad \varphi = \arctg \frac{\left(\omega L - \frac{1}{\omega C} \right)}{R} \quad (13-3)$$

ak pre ustávené napätie $u(t)$ platí:

$$u(t) = U \cos(\omega t + \psi) \quad (13-4)$$

tak pre okamžitú hodnotu prúdu

$$i(t) = \frac{U}{|Z|} \cos(\omega t + \psi + \varphi) \quad (13-5)$$

2. (218)

3.1.2. sériová rezonancia

U sériovej rezonancii SRO hovoríme utecy, ak jeho reaktancia

 X je nulová, t.j.

$$Z = R + jX \quad (13-6)$$

$$X = 0 \quad (13-7)$$

t.j. u rezonancii plati

$$Z_r = R \quad (13-8)$$

Z podmienky (13-7) možno vypočítať rezonančnú frekvenciu ω_0 takto:

$$X = \omega_0 L - \frac{1}{\omega_0 C} = 0 \Rightarrow \omega_0^2 = \frac{1}{LC} \Rightarrow \omega_0 = \frac{1}{\sqrt{LC}} \quad (13-9)$$

Vzťah (13-9) je známy ako tzv. Thomsonov vzťah pre výpočet rezonančnej frekvencie SRO. Pri rezonancii preteká obvodom najväčší prúd, ktorého amplituda je:

$$I_r = \frac{U}{R} \quad (13-10)$$

Pre amplitudu napätia na rezistore R plati:

$$U_R = \frac{U}{R} R = U \quad (13-11)$$

Pre napätia na L a C plati:

$$(13-12)$$

$$U_L = j\omega_0 L I_r = j \frac{\omega_0 L}{R} U$$

$$U_C = \frac{1}{j\omega_0 C} U = -j \frac{1}{\omega_0 C} \frac{U}{R} \quad (13-13)$$

Naholko plati (13-9), tak

$$|U_L| = |U_C| = \left(\frac{\omega_0 L}{R}\right) \cdot U = \left(\frac{1}{\omega_0 R C}\right) U \quad (13-14)$$

3.1.2. Účinnosť SRO

Účinnosť SRO je definovaný vzťahom

$$\eta = \frac{\omega_0 A}{P} \quad (13-15)$$

kde A je energia, ktorá prechádza z el. poľa SRO do magnetického poľa, ktorým je žiarenie. P je výkon, ktorým SRO prijíma z napájacieho zdroja.

uzijúc takúto definíciu A a P , možno činiteľ atosti SRZ vypočítať takto:

$$Q = \frac{\omega_0 A}{P} = \frac{\omega_0 \frac{1}{2} LI^2}{\frac{1}{2} RI^2} = \frac{\omega_0 L}{R} \quad (13-16)$$

Pri použití vzťahu (13-9) možno (13-16) upísať tiež v tejto forme:

$$Q = \frac{1}{\omega_0 CR} \quad (13-17)$$

Osadením za výrazy $\frac{\omega_0 L}{R}$ resp. $\frac{1}{\omega_0 CR}$ do (13-14) vidíme, že

$$|U_L| = |U_C| = QU_r = QU$$

pri rezonancii

je amplitúda napätí na L a C Q -krát väčšie, ako amplitúda napätia napájacieho zdroja.

Prevrátená hodnota činiteľa atosti označujeme symbolom d . Ito veľčina sa nazýva činiteľom tlmenia. Potom pre d platí:

$$d = \frac{1}{Q} = \frac{R}{\omega_0 L} = \omega_0 CR \quad (13-18)$$

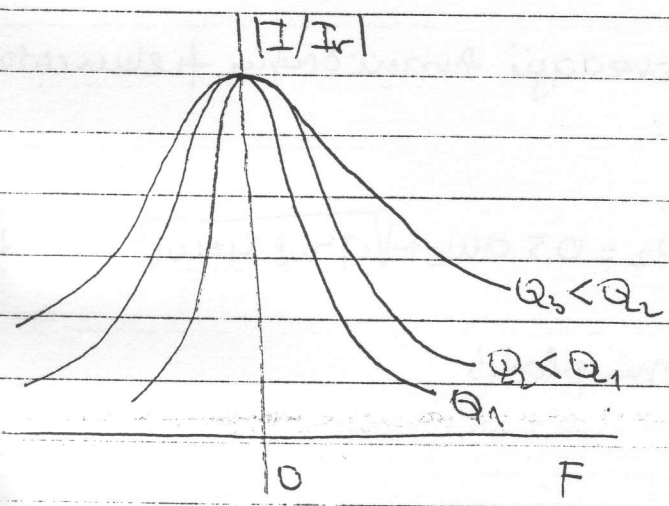
3.1.3 Rozkladenie, činiteľ volania, amplitúda volania

Odchýlku rezonančnej frekvencie od \downarrow frekvencie nazývame rozkladenie. Označujeme ho symbolmi Δf resp. $\Delta \omega$. Je to tzv. absolútne rozkladenie. Hodnotu $\Delta f / f_0$ resp. $\Delta \omega / \omega_0$ nazývame relatívnym rozkladenie. Pre impedanciu SRZ, možno ~~z~~ pri zavedení tejto eličky potom písať:

$$\begin{aligned} Z(j\omega) &= R + j\left(\omega L - \frac{1}{\omega C}\right) = R + j\omega_0 L \left(\frac{\omega}{\omega_0} - \frac{1}{\omega_0 L C \omega} \right) = \\ &= R + j\omega_0 L \left(\frac{\omega}{\omega_0} - \frac{\omega_0}{\omega} \right) = R \left[1 + j \frac{\omega_0 L}{R} \left(\frac{\omega}{\omega_0} - \frac{\omega_0}{\omega} \right) \right] \quad (13-19) \end{aligned}$$

$$Z(j\omega) = R \left[1 + jQ \left(\frac{\omega}{\omega_0} - \frac{\omega_0}{\omega} \right) \right] \quad (13-20)$$

Sústava takýchto kriviek je naznačená na obr. 236., pre rôzne hodnoty Q. Z tohto obr. vidíme, že čím je väčšie číselné odtlačenie, tým je rezonanšná krivka užšia.



Obr. 236.

13.1.5. Priepustné pásmo SRO

RO sa obyčajne považiva ako pásmový priepust. Za priepustné pásmo SRO, s považovaný taký interval frekvencií, v okolí rezonanšnej frekvencie, aby pri medzných (hraničných) frekvenciách z reaktancia obvodu rovnala jej číselnému odporu. Argument impedancie je v tomto prípade $\varphi = 45^\circ$.

OK platí: $X = Z$ (13-29)

tak:

$|Z| = \sqrt{R^2 + X^2} = \sqrt{2R^2} = R\sqrt{2}$ (13-30)

akže:

$|I^*| = \left| \frac{U}{Z} \right| = \left| \frac{U}{R\sqrt{2}} \right| = \frac{I_r}{\sqrt{2}} = 0,707 I_r$ (13-31)

Symbol I^* označuje prúd na hranici priepustného pásma. Ologaritmus pomer $|I/I_r|$ v dB, dostaneme,

$20 \log |I/I_r| = 20 \log |1/\sqrt{2}| = -3 \text{ dB}$ (13-32)

- Čoho je zrejme, že na hranici priepustného pásma je dovolená útlm 3 dB. Pre hraničné frekvencie priepustného pásma potom platí:

$\frac{I^*}{I_r} = \frac{1}{\sqrt{2}} = \frac{1}{\sqrt{1 + \zeta^{*2}}} \Rightarrow \zeta^{*2} = 1 \Rightarrow$ (13-33)

etže

$\zeta^{*2} = Q^2 P^2 \Rightarrow F^* = \pm \frac{1}{Q} = \pm d = \frac{\omega}{\omega_0} - \frac{\omega_0}{\omega}$ (13-34)

(13-34) dostávame kvadratickú rovnicu

$\omega^2 - d\omega\omega_0 - \omega_0^2 = 0$ (13-35)

4 koreňov (13-35)

$$\omega_{1,2,3,4} = \pm 0,5 d\omega_0 \pm \sqrt{d^2\omega_0^2/4 + \omega_0^2} \quad (13-36)$$

vezmeme kladné hodnoty, ktoré zodpovedajú dynamickým frekvenciám prepustného pásma ω_1 a ω_2 t.j.:

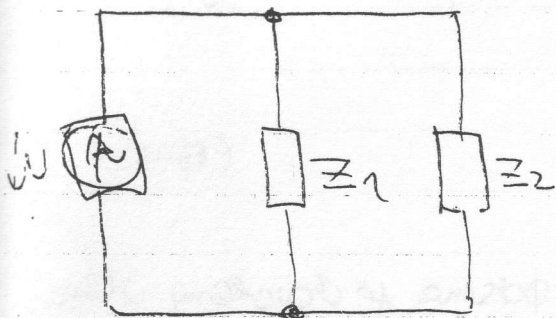
$$\omega_1 = -0,5 d\omega_0 + \sqrt{d^2\omega_0^2/4 + \omega_0^2} \quad \omega_2 = 0,5 d\omega_0 + \sqrt{d^2\omega_0^2/4 + \omega_0^2} \quad (13-37)$$

pre šírku prepustného pásma $\Delta\omega^*$ potom platí:

$$\Delta\omega^* = \omega_2 - \omega_1 = d\omega_0 = \frac{\omega_0}{Q}$$

t.j. $\Delta\omega^* = \frac{\omega_0}{Q}$ resp. $\Delta\omega^* = \omega_0 Q$ (13-37).

13.2 Paralelný rezonančný obvod.



Obr. 237

Uvažujme, že k ideálnemu zdroju napätia $u(t) = |U| \cos(\omega t + \psi)$ sú pripojené dve impedancie Z_1 a Z_2 podľa obr. 237. Nech pre Z_1 a Z_2 platí:

$$Z_1 = R_1 + jX_1 \quad (13-38)$$

$$Z_2 = R_2 + jX_2 \quad (13-39)$$

Dve vyššie uvedené impedancie pripojíme k $u(t)$ potom platí:

$$Z_N = \frac{Z_1 Z_2}{Z_1 + Z_2} = R_N + jX_N \quad (13-40)$$

Impedanciu Z_N možno vyjadriť v tejto forme.

$$Z_N = \frac{(R_1 + jX_1)(R_2 + jX_2)}{(R_1 + R_2) + j(X_1 + X_2)} = \frac{R_1 R_2 + jX_1 R_2 + jX_2 R_1 - X_1 X_2}{(R_1 + R_2) + j(X_1 + X_2)}$$

$$\frac{[(R_1 R_2 - x_1 x_2) + j(x_1 R_1 + x_2 R_2)] \cdot [(R_1 + R_2) - j(x_1 + x_2)]}{(R_1 + R_2)^2 + (x_1 + x_2)^2} =$$

$$\frac{[(R_1 + jx_1)(R_2 + jx_2)] \cdot [(R_1 + jx_1) + (R_2 + jx_2)]}{(R_1 + R_2)^2 + (x_1 + x_2)^2} =$$

$$= \frac{|Z_1|^2 (R_2 + jx_2) + |Z_2|^2 (R_1 + jx_1)}{|Z_N|^2}$$

$$= \underbrace{\frac{R_1 |Z_2|^2 + R_2 |Z_1|^2}{|Z_N|^2}}_{R_N} + j \underbrace{\frac{x_1 |Z_2|^2 + x_2 |Z_1|^2}{|Z_N|^2}}_{X_N} = R_N + jX_N \quad (13-41)$$

dobré ako u prípade SBO, budeme u u prípade obvodu podľa obr. 238 sovať o rezonančnej účely, ak paralelná kombinácia impedanci Z_1 a Z_2 bude predstavovať pre napájajúce zdroje, len činný odpor. Zomanečnej podmienka je potom daná vzťahom:

$$X_N = \frac{x_1 |Z_2|^2 + x_2 |Z_1|^2}{|Z_N|^2} = 0 \quad (13-42)$$

čože:

$$(x_1 |Z_2|^2 + x_2 |Z_1|^2) = 0 \quad (13-43)$$

$R_1 \ll |x_1|$ a $R_2 \ll |x_2|$ tak sa podmienka (13-43)

jednoduchšie má vzťah

$$x_1 + x_2 = 0 \quad (13-44)$$

ktor zodpovedá rezonančný odpor:

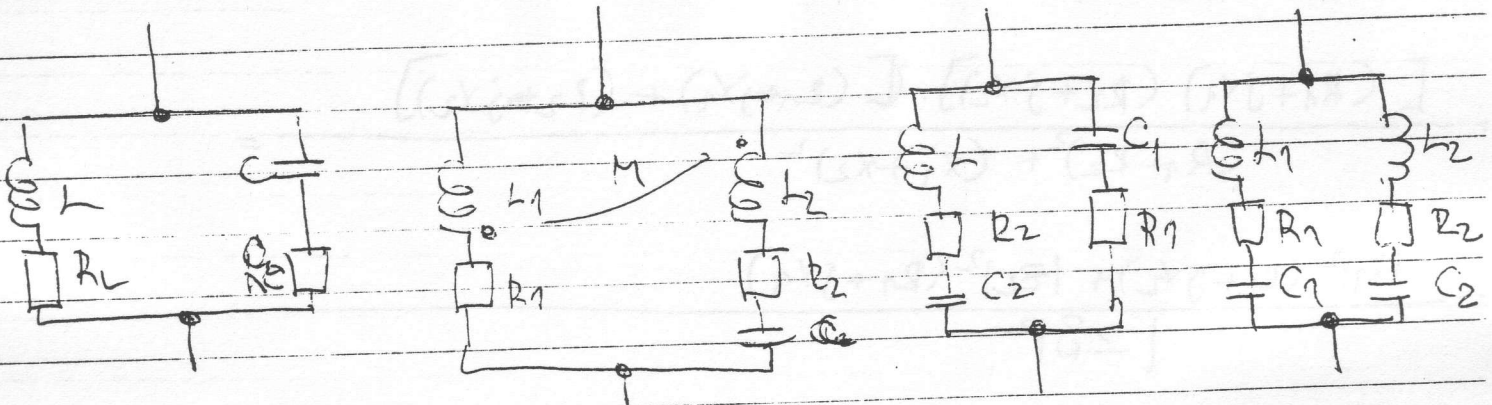
$$R_N = \frac{R_1 x_2^2 + R_2 x_1^2}{(R_1 + R_2)^2} = \frac{(R_1 + R_2) x_1^2}{(R_1 + R_2)^2} = \frac{x_1^2}{R_1 + R_2} = \frac{x_2^2}{R_1 + R_2} \quad (13-45)$$

alebo

u vzťahu (13-44) plynie, že rezonančnej podmienky, možno splniť utedy, ak má reaktancia ľavej ruky opačnej znamienko, ako reaktancia

pravej ruky. To znamená, že ak je reaktancia ľavej ruky indukčná, potom reaktancia pravej ruky musí byť kapacitná, alebo naopak.

akýto obvod nazveme paralelním PZO 1. typu. Přehled PZO je na obr. 238



obr. 238

0

PZO 1. typu

PZO 2. typu

PZO 3. typu

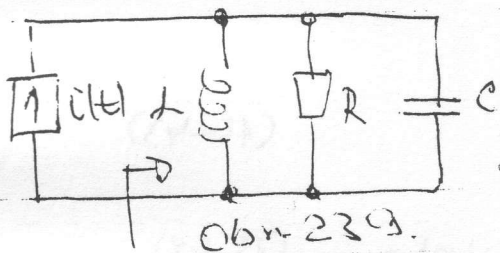
PZO 4. typu.

Doplněme, že PZO vyšších typů (např. 4.) mohou mít i více
počet rezonančních frekvencí.

V dalším se budeme zabývat např. PZO podle obr. 234, natožto
sa v oblasti radioelektroniky setkáváme u různých formách,
přide s těmito obvody.

13.3.1. Paralelní rezonanční PZO - rezonanční obvod.

Uvažujme PZO podle obr. 239. Potom
pro jeho impedanci $Z(p)$ platí:



obr. 239.

$$Z(p) = \frac{1}{\frac{1}{R} + \frac{1}{pL} + pC} = \frac{pLR}{p^2LCR + pL + R}$$

$$Z(p) = \frac{p \frac{1}{C}}{p^2 + p \frac{1}{RC} + \frac{1}{LC}} = \frac{p \frac{1}{C}}{(p - p_1)(p - p_2)} \quad (13-46)$$

$$\text{kde } p_{1,2} = -\frac{1}{2RC} \pm \sqrt{\left(\frac{1}{2RC}\right)^2 - \frac{1}{LC}} \quad (13-47)$$

Póly p_1 a p_2 mohou být reálné alebo komplexne združené. Uvaž
me tieto dva prípady oddelene.

Dve prípady:

$$(1/2RC)^2 \geq 1/LC = \omega_0^2 \quad (13-48)$$

resp.

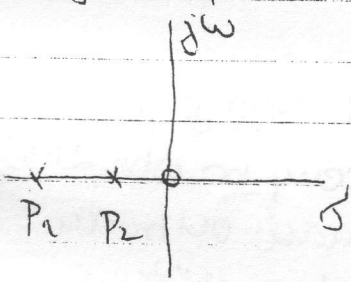
$$R \leq \omega_0 L / 2 = 1 / (2\omega_0 C) \quad (13-49)$$

Dobrym prípadom: o osovoteni (13-49):

$$\frac{1}{2RC} \geq \omega_0 \Rightarrow \frac{1}{\omega_0} \geq 2RC \Rightarrow R \leq \frac{1}{2C\omega_0} = \frac{L}{2L\omega_0} \frac{L\omega_0^2}{2\omega_0}$$

$$R \leq \frac{1}{2} L\omega_0 = \frac{1}{2C\omega_0} \quad (13-50)$$

V tomto prípade, ležia póly p_1 a p_2 na zápornej časti reálnej osi. Diagram pólov a nul $Z(p)$ je na obr. 240. Z obr. 240 plynie, že pre malé hodnoty R , (t.j. tie ktoré sú malé v porovnaní s $\omega_0 L / 2$), čo bude paralelný RLC obvod správať podobne, ako širokopásmový transformátor, s hraničnými frekvenciami $|p_1|$ a $|p_2|$. Prípustné pásmo môže byť fyzikálne interpretované ako frekvencné pásmo, pre ktoré je impedancia veľkosť ωL a $\frac{1}{\omega C}$ veľmi veľká v porovnaní s R , a preto v tomto pásme platí:

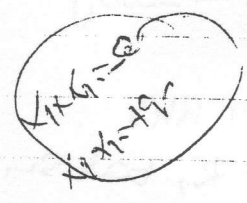


Obr. 240.

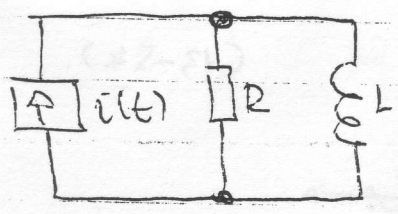
$$Z(j\omega) = R \quad (13-51)$$

Ke $|p_{10}| \gg |p_{20}|$ potom platí:

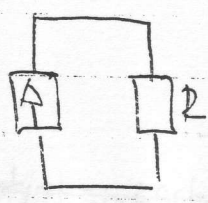
$$p_{10} \approx -\frac{1}{2RC} \quad p_{20} \approx -\frac{1/LC}{1/RC} = -\frac{R}{L} \quad (13-52)$$



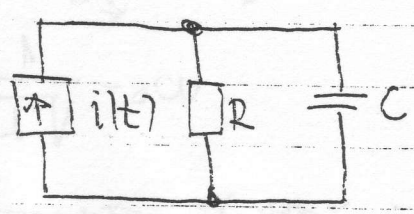
Uchádzajúc zo vzťahov (13-51) a (13-52) možno pre širokopásmový RLC obvod pre jednotlivé frekvencné pásma naznačiť tieto ekvivalentné obvody (Obr. 241):



$\omega \leq |p_{20}|$

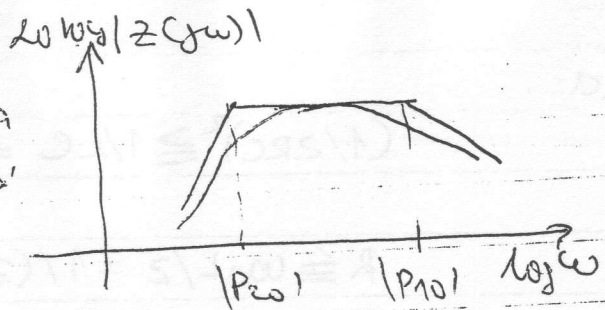


$\omega \in (|p_{20}|, |p_{10}|)$



$\omega \geq |p_{10}|$

plati d'ova' frekvencna' charakteristika
 v obodsmovelo PRO j' naznacena
 obr. 242.



log-ku. obr. 242.

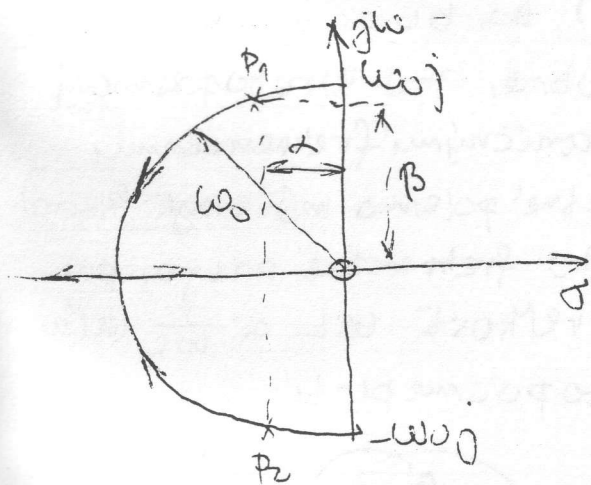
predpokladam, ze plati:

$$(1/2RC)^2 < 1/LC \text{ resp. } R > \omega_0 L^2 \quad (13-53)$$

ak na vypatrenu polov z(p) mozno pouzit tento vyraz:

$$P_{1,2} = -\alpha \pm j\sqrt{\omega_0^2 - \alpha^2} = -\alpha \pm j\beta \quad (13-54)$$

de: $\omega_0 = 1/LC, \alpha = 1/2RC, \beta = \sqrt{\omega_0^2 - \alpha^2} \quad (13-55)$



obr. 243

Diagram polov a nul z(p) je pre
 tento pripad naznaceny na obr. 243.
 Je zrejmé, ze poly budu od bodu
 p=0 vedy vzdialene o d'uzku ω_0
 nakoľko plati:

$$\alpha^2 + \beta^2 = \omega_0^2 \quad (13-56)$$

Z uvedeneho plynie, ze ak rastie α ,
 t.j. ak rastie R, tak sa poly posuvaju po kruznici smerom k realnej
 osi, az pokial sa nestretnu v bode $p = \alpha$.

Pre rezonanenu frekvenciu PRO podľa obr. 239, zo vzťahu (13-44)
 dostaneme:

$$x_1 + x_2 = 0$$

$$j\omega_0 L + \frac{1}{j\omega_0 C} = 0$$

tedy:

$$\omega_0 = \frac{1}{\sqrt{LC}}$$

(13-54).

~~Impedancia (z(jw)) mozno vyjadrit bez tejto formy:~~

Pre zinitet aktosti paralelného rezonančného obvodu platí:

$$Q = \frac{\omega_0 A}{P} \quad (13-58)$$

kde ω_0 je rezonančná frekvencia, P je zinný výkon dodávaný do rezistora R a A je energia elektrického poľa kondenzátora. Hovorí sa mu na energiu magnetického induktora a naopak. Preto pre zinitet aktosti Q platí:

$$Q = \frac{\omega_0 A}{P} = \frac{\omega_0 \frac{1}{2} C U^2}{\frac{1}{2} \frac{U^2}{R}} = \omega_0 C R = \frac{R}{\omega_0 L} \quad (13-59)$$

Impedancia $Z(j\omega)$ PRO možno vyjadriť tiež v tejto forme:

$$\begin{aligned} Z(j\omega) &= \frac{j\omega C}{\omega_0^2 - \omega^2 + 2j\omega R} = \frac{j\omega/C}{\omega_0^2 - \omega^2 + 2j\omega R} \cdot \frac{1 \cdot \frac{RC}{j\omega}}{1 \cdot \frac{RC}{j\omega}} = \\ &= \frac{R}{2R \cdot RC + \frac{RC}{j\omega} \frac{\omega_0^2 - \omega^2}{\omega \omega_0}} = \frac{R}{\frac{1}{2} 2RC + jRC \frac{\omega^2 - \omega_0^2}{\omega}} = \\ &= \frac{R}{1 + j\omega RC \frac{\omega^2 - \omega_0^2}{\omega \omega_0}} = \frac{R}{1 + jQ \left(\frac{\omega}{\omega_0} - \frac{\omega_0}{\omega} \right)} \end{aligned}$$

t.j.

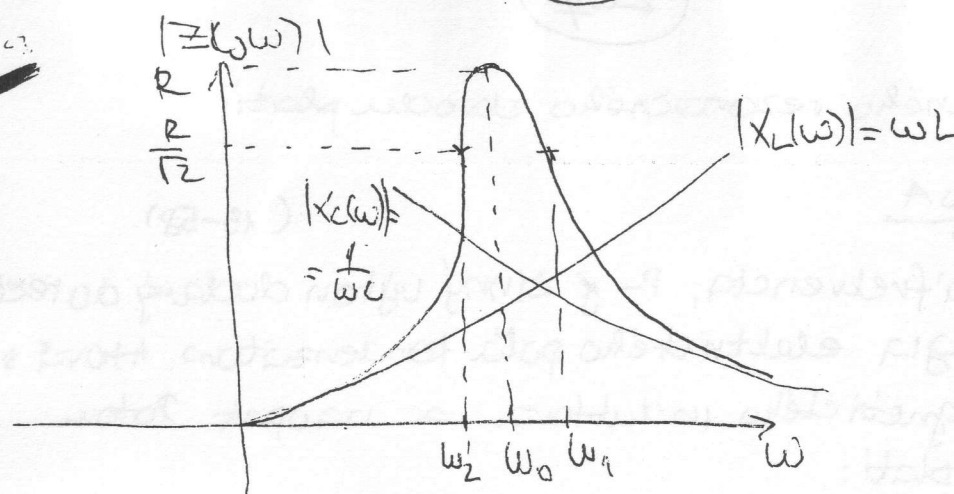
$$Z(j\omega) = \frac{R}{1 + jQ \frac{\omega^2 - \omega_0^2}{\omega \omega_0}} = |Z| e^{j\varphi} \quad (13-60)$$

kde

$$|Z| = \frac{R}{\sqrt{1 + Q^2 \left(\frac{\omega}{\omega_0} - \frac{\omega_0}{\omega} \right)^2}} \quad \varphi = -\arctg \frac{\omega^2 - \omega_0^2}{\omega \omega_0} \quad (13-61)$$

Závislosť impedancie $|Z(j\omega)|$ od frekvencie je naznačená na obr. 244. Z obr. 244 vidíme, že PRO má správa ako pásmový prepust. Pre hraničné frekvencie tohoto pásmového prepustu

(110)



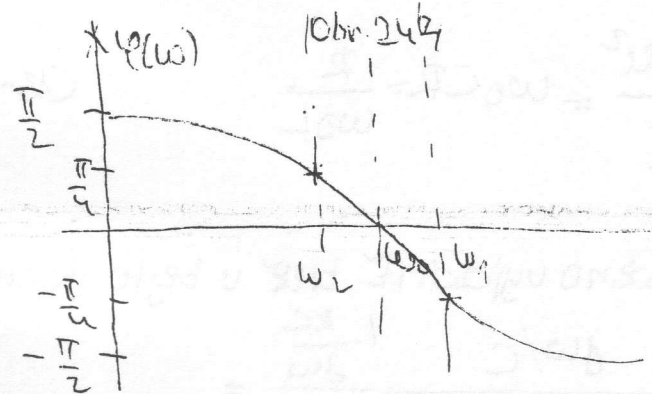
potom platí:

$$|Z(jw)| = \frac{R}{\sqrt{2}} \quad (13-62)$$

Použitím rovnice (13-60) a (13-61) potom pre hraničné frekvencie PFO musí platiť vzťah

$$Q \frac{\omega^2 - \omega_0^2}{\omega \omega_0} = \pm 1 \quad (13-63)$$

Ziesedení rovnice (13-63) potom odvážime hraničné frekvencie PFO v tejto forme:



$$\omega^2 - \omega_0^2 = \pm \frac{1}{Q} \omega \omega_0$$

$$\omega_{1,2,3,4} = \pm \frac{1}{2Q} \omega_0 \pm \sqrt{\left(\frac{\omega_0}{2Q}\right)^2 + \omega_0^2}$$

$$\omega^2 - \omega_0^2 = \pm \frac{1}{Q} \omega \omega_0$$

$$\omega_1 = \frac{1}{2Q} \omega_0 + \sqrt{\left(\frac{\omega_0}{2Q}\right)^2 + \omega_0^2} \quad (13-64)$$

$$\omega^2 - \frac{1}{Q} \omega \omega_0 - \omega_0^2 = 0$$

$$\omega_2 = -\frac{1}{2Q} \omega_0 + \sqrt{\left(\frac{\omega_0}{2Q}\right)^2 + \omega_0^2}$$

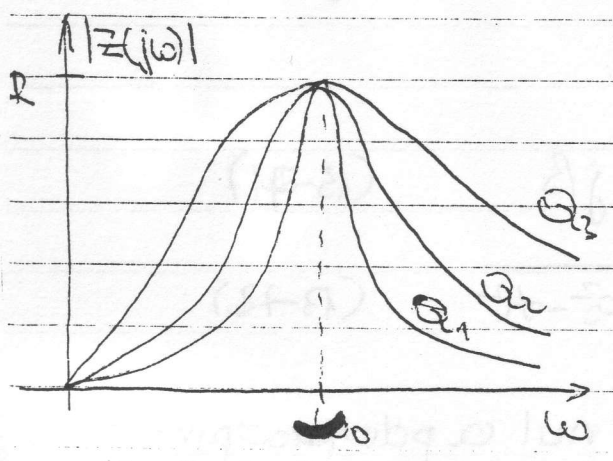
Použitím (13-64) zistujeme, že pre široku priepustného pásma PFO platí vzťah

$$B = \omega_1 - \omega_2 = \frac{\omega_0}{Q} \quad (13-65)$$

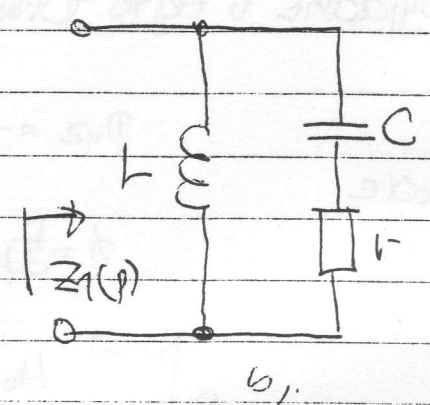
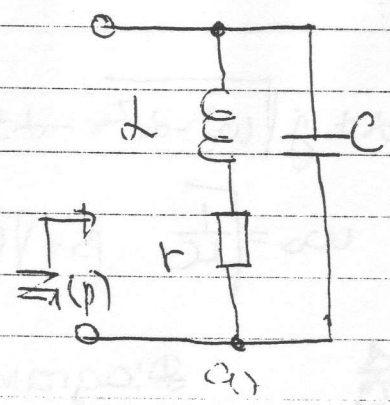
Odkon vrátme ku vzťahu (13-61), tak vidíme, že modul impedancie |Z(jw)| je maximálny pre $\omega = \omega_0$, pričom platí:

$$Z(j\omega_0) = |Z(j\omega_0)| = \underline{\underline{R}} \quad (13-66)$$

Podobne ako v prípade SRN, platí, že vyšší cimitel Q, má za následok obvod s užšou šírkou priepustného pásma. (Obr. 243).



$Q_1 > Q_2 > Q_3$ Obr. 245.



Obr. 246.

Na tomto odseku sa budeme zaoberať PZO, ktorého cieľom je rozdelená sériovým zapojením ideálneho induktora o indukčnosťou L a ideálneho rezistora s odporom r . (Obr. 246). Obdržané riešenie zovšeobecňuje tiež na prípad, keď je rezistor zapojený do série s kapacitorom (Obr. 246).

Ke impedance $Z_1(p)$ obvodu podľa Obr. 246 a) platí:

$$i_1(p) = \frac{1}{pC + \frac{1}{r + pL}} = \frac{r + pL}{prC + p^2LC + 1} = \frac{(r + pL) \frac{1}{LC}}{p^2 + p \frac{r}{L} + \frac{1}{LC}}$$

$$Z_1(p) = \frac{(p + \frac{r}{L}) (\frac{1}{C})}{p^2 + p \frac{r}{L} + \frac{1}{LC}} = \frac{(p + \frac{r}{L}) (\frac{1}{C})}{(p - p_{10}) (p - p_{20})} \quad (13-67)$$

de

$$p_{10,20} = \left(-\frac{r}{2L}\right) \pm \sqrt{\left(\frac{r}{2L}\right)^2 - \frac{1}{LC}} \quad (13-68)$$

o vzťah (13-67) vidíme, že pól $Z_1(p)$ môžu byť uradenosti od parametrov obvodu reálne alebo komplexné. Katalke analýza obvodu pre prípad reálnych pólov je podobná na analýzu, ktorú we previedli pre PZO v predchádzajúcom odseku, obmedzíme našu pozornosť pre prípad

$$\frac{1}{LC} > \left(\frac{r}{2L}\right)^2 \quad (13-69)$$

eho ekvivalentne

$$r < 2\omega_0 L = 2/\omega_0 C \quad (13-70)$$

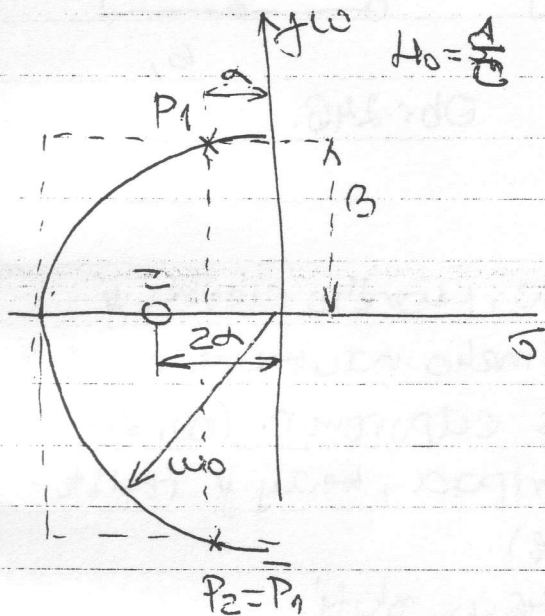
Pre tento prípad môžeme pól $Z_1(p)$ uradiť

UjaoarE v tejto formE:

$$p_{1,2} = -\alpha \pm j \sqrt{\omega_0^2 - \alpha^2} = -\alpha \pm j\beta \quad (13-71)$$

kde

$$\alpha = \frac{r}{2L} \quad \omega_0 = \sqrt{\frac{1}{LC}} \quad \beta = \sqrt{\omega_0^2 - \alpha^2} \quad (13-72)$$



obr. 247.

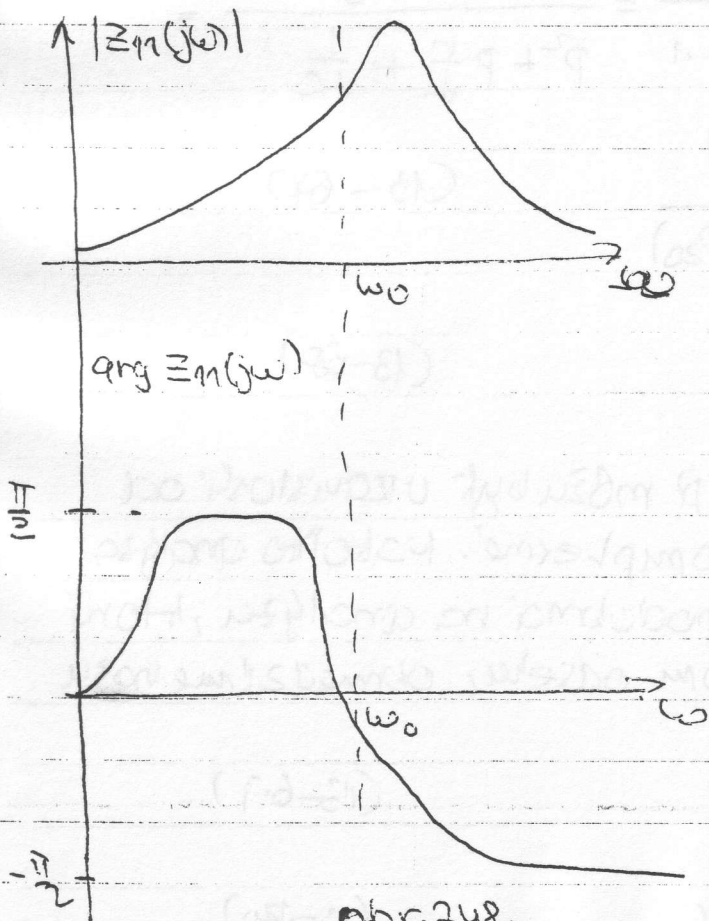
Diagram nul a podozodpovedajici ~~obr.~~ impedancii $Z_{11}(p)$, je naznaceny ma obr. 247. Z obr. 247, uvidiet, ze pre rastuce α (ktore rastie z rastom odporu r), sa poly i nulovy bod posuvaju smerom doľava, v komplexnej rovine, \oplus , pričom poly p_1 a p_2 sa posuvaju - pohybujú po kružnici s polomerom ω_0 , kde ω_0 je frekvencia, pri ktorej sú impedancie induktora a kapacitora rovnaké.

Grafické závislosti modulu

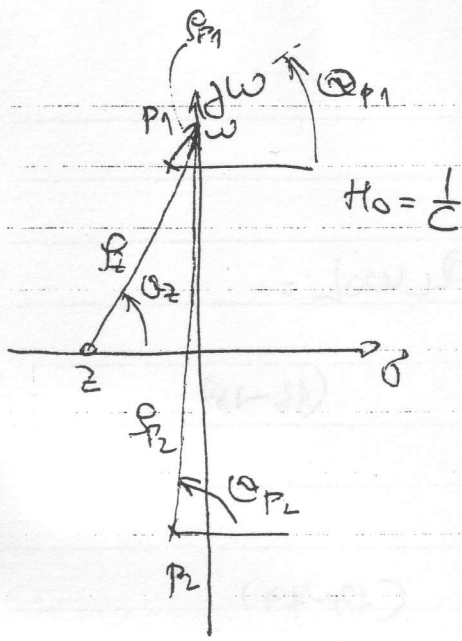
impedancie $|Z_{11}(j\omega)|$ a $\arg Z_{11}(j\omega)$ sú naznacené na obr. 248. Z týchto obr. uvidíme, že má rozdiel od p_1 a p_2 s predošlého odseku, ~~ale~~ $|Z_{11}(j\omega)|$ nemá maximum v ω_0 , a $\arg Z_{11}(j\omega)$ nemá nulový v $\omega = \omega_0$. Z toho dôvodu, pre obvod podľa 246 existujú dve rôzne frekvencie, pre ktoré:

- je amplitúda $|Z_{11}(j\omega)|$ maximálna
 - je fáza - $\arg Z_{11}(j\omega)$ nulová.
- Nasťastez, ak sú poly

p_1 a p_2 blízko ~~keďže~~ imaginárnej osi, obe tieto frekvencie konvergujú ku frekvencii ω_0 .



obr. 248.



obr. 249.

Ozrem uvedeného poznamenávam, že u tomto prípade možno tiež jednoducho vyjadriť pre šírku priepustného pásma obvodu podľa obr. 247.

1. Avšak za predpokladu, že $\alpha \ll \omega_0$, alebo ak Q_L deformované vzťahom

$$Q_L = \frac{\omega_0 L}{r} = \frac{1}{\omega_0 C r} = \frac{\omega_0}{2\alpha} \quad (13-43)$$

je vyššie, možno najskôr určite zjednodušiť vyjadrenie pre $Z_{11}(j\omega)$. Vychádzajúc

z obr. 249, pri použití vzťahu (13-68), možno pre $Z_{11}(j\omega)$ písať:

$$Z_{11}(j\omega) = H_0 \frac{P_z}{P_{p1} P_{p2}} \exp j(\varphi_z - \varphi_{p1} - \varphi_{p2}) \quad (13-74)$$

Tomu pozorujeme, že pre frekvencie v okolí p_1 ($\omega \approx \omega_0$), platia tiež to vzťahy:

$$P_z = \omega_0 \quad \varphi_z = \frac{\pi}{2} \quad P_{p2} \approx 2\omega_0 \quad \varphi_{p2} = \frac{\pi}{2} \quad \beta = \sqrt{\omega_0^2 - \alpha^2} \approx \omega_0 \quad (13-75)$$

z ktorých (13-75) možno (13-74) zapísať v tejto forme:

$$\begin{aligned} Z_{11}(j\omega) &\approx \frac{1}{c} \frac{\omega_0}{P_{p1} \cdot 2\omega_0} \exp j\left[\frac{\pi}{2} - \varphi_{p1} - \frac{\pi}{2}\right] = \frac{1}{2c} \frac{1}{P_{p1}} e^{j\varphi_{p1}} \\ &= \frac{1}{2c} \frac{1}{P_{p1} e^{j\varphi_{p1}}} = \frac{1}{2c} \frac{1}{j\omega + (\alpha - j\omega_0)} \\ &= \frac{1}{2c\alpha} \frac{1}{1 + j\frac{\omega - \omega_0}{\alpha}} \quad \omega > \omega_0 \quad (13-76) \end{aligned}$$

z podobnej vzťahu

$$Z_{11}(j\omega) = \frac{2}{1 + j\frac{\omega - \omega_0}{\alpha}} = \frac{1}{2c\alpha} \frac{1}{1 + j\frac{\omega - \omega_0}{\alpha}} \quad (13-77)$$

avšak zodpovedá impedancii PPO a vyslovuje Q_L .

(16)

(232)

Katomo vzťah $\frac{1}{ZLC}$ možno upraviť ~~to~~to:

$$\frac{1}{ZLC} = \frac{\omega_0}{ZLC} \cdot \frac{1}{\omega_0 C} = \frac{\omega_0}{\frac{r}{L} \cdot 2} \cdot \frac{1}{\omega_0 C} = \frac{\omega_0 L}{r \omega_0 C} = Q_L \omega_0 L =$$

$$= Q_L \frac{\omega_0 L}{r} \cdot r = Q_L^2 r = R_{eq} \quad (13-48)$$

Tak (13-46) možno prepísať do tvaru:

$$Z_{in}(j\omega) = \frac{R_{eq}}{1 + j \frac{\omega - \omega_0}{\alpha}} \quad (13-49)$$

to zodpovedá upraveniu pre impedanciu paralelného RLC obvodu i vysokým omlitým ohniskom. Vychádzajúc z toho, pre vysoké hodnoty Q_L (napr. $Q_L > 10$, kde (13-49) platí s presnosťou niekoľkých percent), môže byť obvod podľa obr. 246a, modelovaný obvodom podľa obr. 250. Podobné zhrveny možno ~~zhrveny~~ zhrveny, ak v niektorej analýze podrobnej obvodu podľa obr. 246b. Potom tento obvod možno modelovať s vysokou presnosťou obvodom podľa obr. 251.

